

КОГЕРЕНТНОЕ ФОТОРОЖДЕНИЕ  $\eta$ -МЕЗОНОВ  
НА ДЕЙТОНАХ

Ю. Н. Кременцова, А. И. Лебедев

УДК 539.12; 539.172.3

В импульсном приближении рассматривается процесс  $\chi + d \rightarrow \eta + d$  с учетом движения нуклонов внутри дейтона. Показано, что изучение этого процесса может дать сведения об амплитудах фоторождения  $\eta$ -мезонов на нуклонах.

Существенную информацию о структуре адронов дает изучение их электромагнитных взаимодействий. Так, определение относительной роли изовекторных и изоскалярных переходов при фотовозбуждении барионных резонансов представляет интерес для проверки предсказаний квarkовых моделей строения адронов. Например, согласно простейшей квакровой модели /1/ возбуждение протона фотоном в резонансное состояние  $S_{11}(1535)$  должно носить преимущественно изовекторный характер. Анализ данных по фоторождению  $\pi$ -мезонов на нуклонах подтверждает /2,3/ это предсказание. Однако изучение процессов

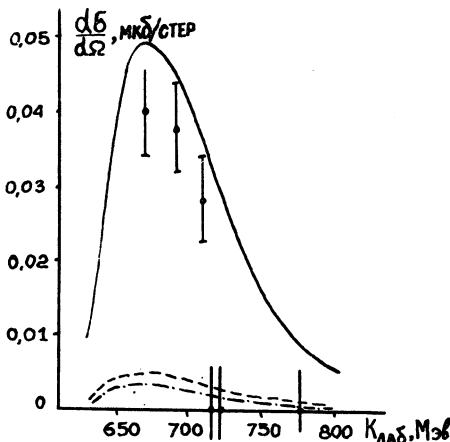
$$\gamma + p \rightarrow \eta + p \quad (1)$$

$$\gamma + d \rightarrow \eta + d, \quad (2)$$

в которых резонанс  $S_{11}(1535)$  проявляется значительно ярче, чем при фотообразовании  $\pi$ -мезонов, привело к заключению об изоскалярном характере фотовозбуждения этого резонанса /1,4/. Это противоречащий следствиям квакровой модели вывод базируется на анализе результатов измерения дифференциального сечения процесса когерентного фоторождения (2) для больших значений переданного дейтону импульса ( $Q = 0,5 - 0,65$  Гэв/с). Поскольку при таких  $Q$  существенны детали строения ядра дейтерия, то необходимо было выяснить, не может ли учет новых сведений о волновой функции дейтерия  $\varphi$  изменить заключение об изоструктуре фотовозбуждения резонанса  $S_{11}$ .

Дифференциальное сечение процесса  $\gamma + d \rightarrow \eta + d$  вычислялось в импульсном приближении, согласно которому амплитуда записывается в виде

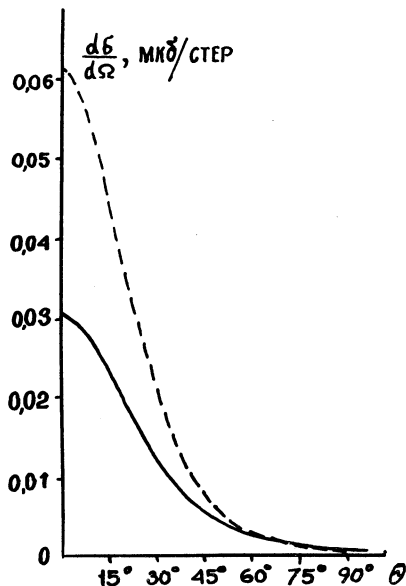
$$T_d = 2 \int d\vec{p} \varphi^*(\vec{p}) T^\circ \varphi \left( \vec{p} - \frac{\vec{Q}}{2} \right), \quad (3)$$



Р и с. I. Зависимость от энергии фотона к дифференциальному сечению процесса  $\gamma + d \rightarrow \eta + d$  для угла вылета мезона в системе центра масс  $90^\circ$ . Сплошная кривая – результаты вычисления сечения с учетом примеси  $D$ -состояния в дейтоне в предположении о чисто изоскалярном характере фотовозбуждения резонанса  $S_{11}(1535)$ . Пунктирная и штрихпунктирная кривые – результаты вычисления в предположении  $T^\circ = 0,35 T^P$  с учетом и без учета примеси  $D$ -состояния, соответственно. Экспериментальные точки взяты из работы /4/.

где  $T^\circ$  – изоскалярная часть амплитуды фоторождения  $\eta$ -мезона на свободном нуклоне,  $\vec{p}$  – импульс нуклона в дейтоне. Для описания  $T^\circ$  использовались результаты изобарного анализа фоторождения  $\eta$ -мезонов на протоне /5/ и таблицы /6/, при этом изоскалярная часть амплитуды фотовозбуждения резонанса  $S_{11}(1535)$  варьировалась в пределах от 35% до 100% от протонной амплитуды и вычисления проводились с решениями А-2 и В-2 /5/ для амплитуд процесс-

са (I). Входящие в выражение для дифференциального сечения процесса (2) формфакторы дейтона (см./7/) были взяты из наиболее надежной аппроксимации сечения pd-рассеяния /8/ (примесь D-состояния в  $\varphi$  составила 6,5%).



Р и с.2. Угловое распределение мезонов в процессе  $\gamma + d \rightarrow \eta + d$  для энергии фотонов  $k_{\text{лаб}} = 800$  Мэв. Сплошная и пунктируные кривые получены соответственно с использованием амплитуд B-2 и A-2 работы /5/

При расчетах учитывалось движение нуклонов внутри дейтона, которое приводит к сдвигу эффективной энергии фотона в сторону меньших значений по отношению к фоторождению на свободном протоне.

Как видно из рис. I, дифференциальное сечение, вычисленное в предположении о преимущественно изовекторном характере фотовозбуждения резонанса  $S_{11}(1535)$  ( $T^0 \approx 0,35 T^P$ ), слишком мало, чтобы объяснить экспериментальные данные /4/. Учет примеси D-состояния в волновой функции дейтона увеличивает сечение про-

цесса (2) лишь на 30%. Следует отметить, что использованные при расчетах формфакторы дейтона хорошо описывают экспериментальные данные по когерентному фоторождению  $\eta$ -мезонов при соответствующих значениях передаваемых импульсов  $Q$ . Сечения, вычислен-

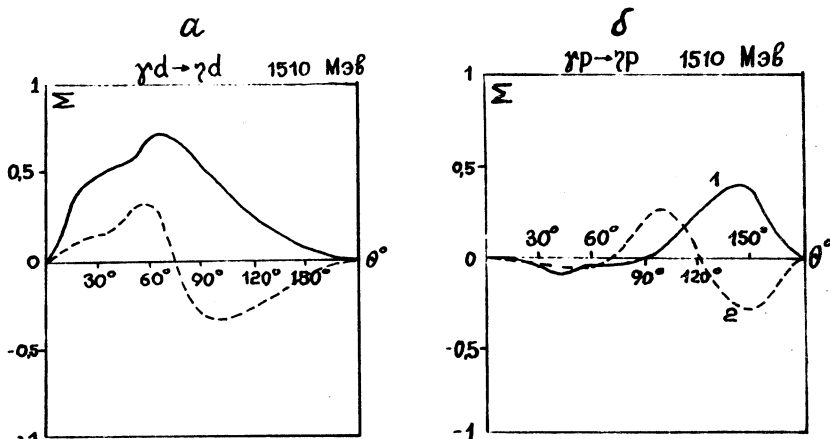


Рис.3. Асимметрия рождения  $\eta$ -мезонов поляризованными фотона-ми  $\Sigma = \frac{\sigma_{\perp} - \sigma_{\parallel}}{\sigma_{\perp} + \sigma_{\parallel}}$  на дейтоне (а) и на протоне (б) для энергии  $k_{\text{лаб}} = 1510$  Мэв, полученная с использованием амплитуд В-2 (сплошная линия) и А-2 (пунктирная линия) работы /5/

ные с использованием протонной амплитуды (это соответствует предположению о чисто изоскалярном характере амплитуды фоторождения  $\eta$ -мезонов), удовлетворительно согласуются с данными опыта. Наилучшее согласие достигается при  $T^o = 0,84T^p$ . Таким образом, вывод о преимущественно изоскалярном характере фотовозбуждения резонанса  $S_{11}(1535)$  при фоторождении  $\eta$ -мезонов не меняется и при учете деталей строения ядра дейтерия.

Интересно отметить, что дифференциальные сечения процесса (2), вычисленные с использованием решений А-2 и В-2 для амплитуд процесса (I) заметно различаются между собой для малых углов вылета  $\eta$ -мезонов при энергиях  $k > 0,8$  Гэв (см. рис.2). Еще большее отличие имеет место для асимметрии фоторождения поляризо-

ванными фотонами на дейтонах (рис.3а)  $\Sigma = \frac{\sigma_{\perp} - \sigma_{\parallel}}{\sigma_{\perp} + \sigma_{\parallel}}$ ;  $\sigma_{\perp}$  и  $\sigma_{\parallel}$  - сечения для фотонов, поляризованных перпендикулярно и параллельно плоскости рождения. Все это указывает на возможность использования реакции (2) для отбора единственного решения в описании одноклонного процесса (I).

Необходимо также подчеркнуть, что решения A-2 и B-2 приводят к существенному различию асимметрии в процессе (I) при больших энергиях ( $k > 1500$  МэВ) (см. рис.3б). При энергиях ниже 950 МэВ, где доминирует  $S_{11}$  - резонанс, асимметрия фоторождения на протоне мала (менее 15%); асимметрия же рождения на дейтоне из-за влияния примеси D-состояния в волновой функции ядра остается заметной ( $\sim 40\%$ ), но она чувствительна к способу выбора эффективного сдвига энергий.

Поскольку информация, которую можно получить при изучении когерентного фоторождения  $\eta$ -мезонов, важна для физики адронов, то весьма желательно провести детальное экспериментальное исследование этого процесса (к настоящему времени выполнена лишь одна работа /4/ по измерению дифференциального сечения процесса (2)).

Поступила в редакцию  
27 октября 1975 г.

#### Л и т е р а т у р а

1. D. Faiman, A. W. Hendry. Phys. Rev., 180, 1572 (1969).
2. R. L. Walker. Proceed. 4 Intern. Symp. on El. Phot. Inter., 1969, p. 23.
3. R. G. Moorhouse, H. Oberlack, A. N. Rosenfeld. Phys. Rev., D9, 1 (1974).
4. R. L. Anderson, R. Prepost. Phys. Rev. Lett., 23, 46 (1969).
5. H. R. Hicks, S. R. Deans, D. T. Jacobs, P. W. Lyons, D. L. Montgomery. Phys. Rev., D7, 2614 (1973).
6. Particle Data Group. Rev. Mod. Phys., 45, N 2, part II (1973).
7. F. H. Hadjioannou. Phys. Rev., 125, 1414 (1962).
8. J. Alberi, L. Bertocchi, J. Bialkowski. Nucl. Phys., B17, 621 (1970).